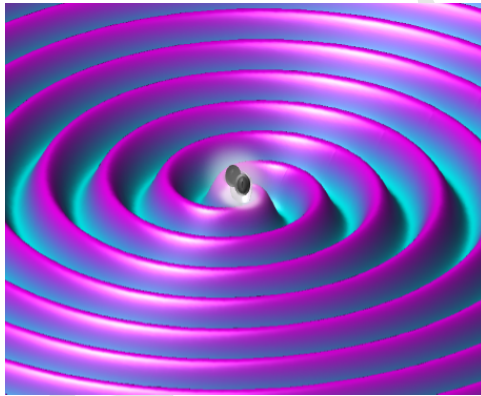


# Relatividad y Gravitación

## Teoría, algoritmos y problemas



**Jorge I. Zuluaga**

Profesor titular de Astronomía y Física

Instituto de Física, Facultad de Ciencias Exactas y Naturales  
Universidad de Antioquia

17 de julio de 2020

BORRADOR

# Índice general

<b>1.</b>	<b>Aplicaciones de la relatividad general</b>	<b>7</b>
1.1.	Cosmología relativista . . . . .	8
1.1.1.	Plan de temas . . . . .	8
1.1.2.	Propiedades del universo . . . . .	8
1.1.3.	Principios básicos . . . . .	11
1.1.4.	La métrica del Universo . . . . .	13
<b>2.</b>	<b>Apéndices</b>	<b>15</b>
2.1.	Códigos útiles . . . . .	15
2.1.1.	Cálculo analítico de tensores en relatividad general .	15
	<b>Bibliografía</b>	<b>19</b>

BORRADOR

# Índice de figuras

1.1.	Ley de Hubble Lemaitre. En el eje vertical se muestra el módulo de distancia $\mu = m - M = 5\log_{10}(d) - 5$ donde la distancia esta en pc. Una distancia de 1 Gpc corresponde a un módulo de distancias de 40. Fuente: <a href="https://physics.stackexchange.com/questions/361438/interpretation-of-hubble-diagram">https://physics.stackexchange.com/questions/361438/interpretation-of-hubble-diagram</a> . . . . .	9
1.2.	Parámetro de Hubble . . . . .	10
1.3.	Imagen del cúmulo de la bala mostrando la distribución reconstruida de materia oscura . . . . .	11
1.4.	Observadores fundamentales de acuerdo con el principio de Weyl	13

BORRADOR

## Capítulo 1

# Aplicaciones de la relatividad general

### Resumen

Después de deducir el formalismo básico de la relatividad general, procederemos en este capítulo a usarlo para estudiar problemas concretos y hacer las predicciones más importantes de la teoría general de la relatividad.

Nos concentraremos aquí en tres aplicaciones importantes:

- **Ondas gravitacionales.** La predicción de la existencia de ondas gravitacionales y la descripción de algunas de sus propiedades básicas es una de las más interesantes y poco triviales predicciones de la teoría general de la relatividad. Aquí estudiaremos algunos aspectos básicos de la teoría (un tratamiento riguroso y en detalle está más allá del nivel de este curso), concentrándonos en ofrecer las bases para un estudio más detallado y para predecir las propiedades específicas de sistemas que emiten ondas gravitacionales en el universo.
- **Solución de Schwarzschild y agujeros negros.** La métrica de Schwarzschild es una de las únicas soluciones analíticas que se conocen de la ecuación de campo métrico. Describe la geometría del espacio-tiempo en el exterior de un objeto con simetría esférica. Deduciremos aquí la métrica y estudiaremos el movimiento de partículas de prueba en este espacio-tiempo. En particular con estos datos predeciremos las propiedades de los agujeros negros.
- **La métrica de Friedmann-Robertson-Walker.** Otra de las soluciones analíticas a la ecuación de campo métrico es la que describe un universo homogéneo e isotrópico. Esta solución fue también obtenida muy poco tiempo después del surgimiento de la relatividad. Aquí deduciremos esta solución y un conjunto muy importante de ecuaciones relacionadas que se conocen como las ecuaciones de Friedmann y que describen la dinámica del universo en expansión y su relación con el contenido (y tipo) de masa energía. Estudiaremos las propiedades de la métrica y sus predicciones respecto al Universo.

El orden que seguiremos no es el orden convencional. Hemos decidido concentrarnos en los temas de mayor actualidad en el momento.

## 1.1. Cosmología relativista

Una de las más tempranas y más fértiles aplicaciones de la teoría general de la relatividad es fue la descripción de la geometría del espacio-tiempo del Universo como un todo.

La descripción del espacio-tiempo de cuatro dimensiones que contiene toda la materia y la energía (el universo), su evolución y dinámica, sumado a la fenomenología resultante (el comportamiento de la materia y la energía en ese espacio-tiempo), así como la relación entre la geometría y las observaciones realizadas desde algún lugar del universo es lo que llamamos actualmente la **cosmología relativista**.

### 1.1.1. Plan de temas

- Propiedades del Universo.
- La métrica de Friedmann-Robertson-Walker (FRW).
- Observaciones en un universo con la métrica FRW.
- Las ecuaciones FRW.
- Modelos de universo

### 1.1.2. Propiedades del universo

Antes de describir con la relatividad el universo es necesario entender algunas propiedades globales básicas que conocemos.

Desde tiempos históricos se sabe que el espacio entre las estrellas es mucho mayor que su tamaño y por lo tanto que la mayor parte del universo esta vacío. En los años 1930 descubrimos el medio interestelar (gases y polvo) pero sabemos que su densidad es muchos ordenes de magnitud menor que el de cualquier cuerpo astronómico.

En los 1700 Newton especulaba que el universo no podía tener ningún límite porque de lo contrario habría también un centro y por lo tanto la materia habría colapsado en él. Esta idea de entrada ya implicaba la intuición de que el universo era a gran escala homogéneo.

En los 1700 y 1800 se descubrió que las estrellas en el cielo hacían parte de la Vía Láctea, una estructura en forma de disco que hoy sabemos tiene un diámetro de unos 30 kpc ( $1 \text{ pc} = 3,26 \text{ al} = 3,08 \times 10^{13} \text{ km}$ ).

En los años 1920 descubrimos que algunas “nebulosas” que habían descubierto los astrónomos a lo largo de 200 años de observaciones telescópicas eran realmente estructuras externas de estrellas a la Vía Láctea. Eso demostraba que la materia en el Universo se reunía en la forma de “islas de estrellas” o galaxias repartidas sin un patrón definido por el espacio de tres dimensiones. Hoy sabemos que hay miles de millones de galaxias (las últimas estimaciones las cifran en 2 billones incluyendo las más pequeñas) distribuidas de forma más o menos homogénea.

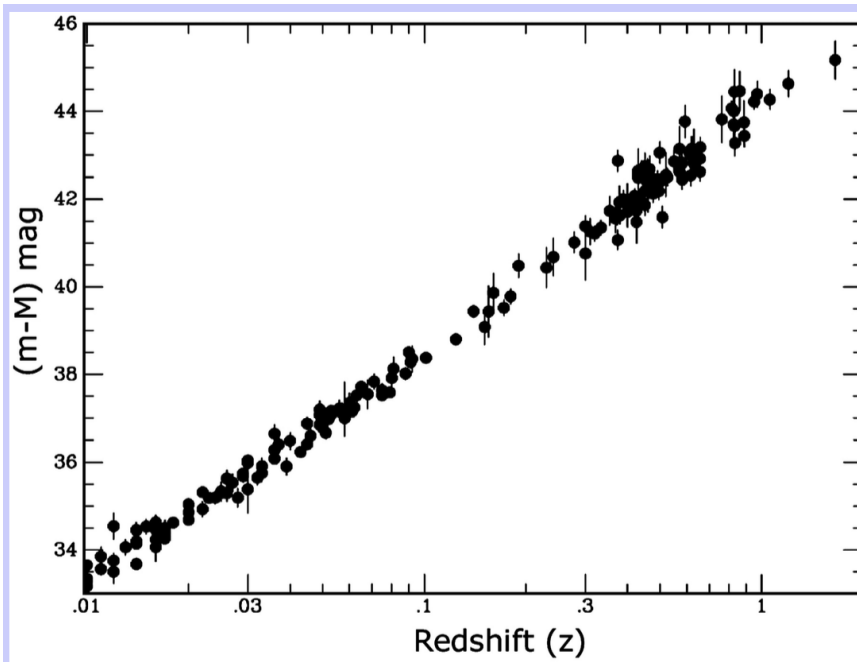
Aunque las galaxias se mueven por efecto de su interacción local (la velocidad relativa entre las galaxias es del orden de 100-1000 km/s) la observación más im-



portante hecha en los 1920 es que todas las galaxias parecen exhibir un corrimiento al rojo espectral  $z$  que varía en proporción directa a la distancia luminosa  $d_L$  a la que las galaxias se encuentran:

$$z \approx \frac{H_0}{c} d_L$$

donde el símbolo  $\approx$  se debe a que la ley fue establecida unicamente para Galaxias a una distancia relativamente pequeña de la Vía Lactea. A este resultado se lo conoce como la **ley de Hubble-Lemaitre**.



**Figura 1.1:** Ley de Hubble Lemaitre. En el eje vertical se muestra el módulo de distancia  $\mu = m - M = 5 \log_{10}(d) - 5$  donde la distancia esta en pc. Una distancia de 1 Gpc corresponde a un módulo de distancias de 40. Fuente: <https://physics.stackexchange.com/questions/361438/interpretation-of-hubble-diagram>.

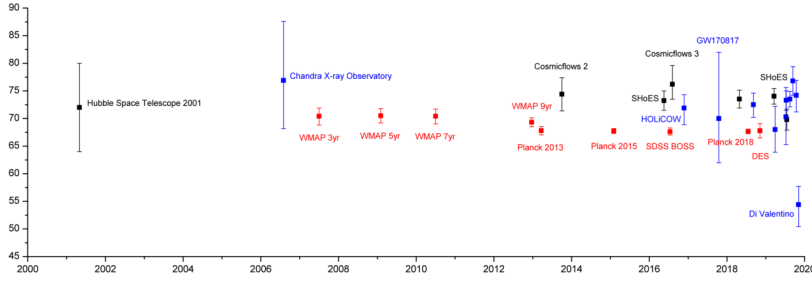
Aquí la cantidad  $H_0$  se conoce como el parámetro de Hubble y su valor se parametriza normalmente como:

$$H_0 = 70 h_{70} \text{ km s}^{-1} \text{Mpc}^{-1} = 2,27 \times 10^{-18} h_{70} \text{ s}^{-1}$$

donde  $h$  es un parámetro adimensional. Según las últimas estimaciones astrofísicas  $h = 70,5 \text{ km/s}$ .

El valor de  $H_0$  todavía no se conoce con precisión. Según la [última estimación de 2020](#)<sup>1</sup> es  $h_{70} = 1,056 \pm 0,04$ .

<sup>1</sup>[https://en.wikipedia.org/wiki/Hubble%27s\\_law#Measured\\_values\\_of\\_the\\_Hubble\\_constant](https://en.wikipedia.org/wiki/Hubble%27s_law#Measured_values_of_the_Hubble_constant)



**Figura 1.2:** *Parámetro de Hubble*

El espacio entre las galaxias no está completamente vacío. Está lleno de lo que se conoce como gas intracúmulos. Usando la emisión de radiación del gas entre cúmulos y otros métodos astrofísicos, se ha estimado que la densidad promedio de materia bariónica (protones, neutrones y electrones) es igual a<sup>2</sup>:

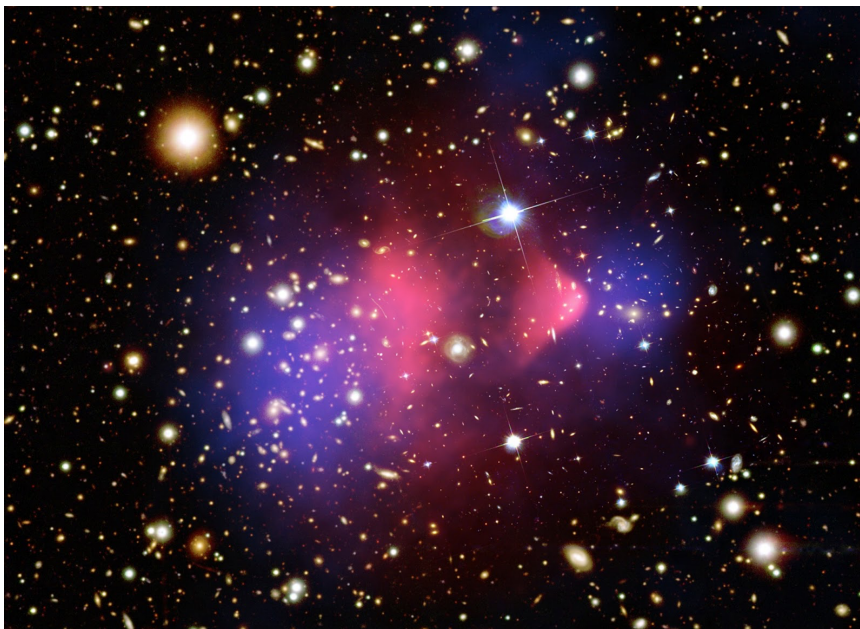
$$\rho_B = 4,46 \times 10^{-28} h_{70}^2 \text{ kg m}^{-3}$$

De esta densidad, tan solo el 6 % es la materia que forma estrellas, planetas y nubes de gas visibles.

Distintas líneas de evidencia incluyendo la dispersión de velocidades de las galaxias en cúmulos ricos, la curva de rotación de las galaxias de disco y medidas de lentes y microlentes gravitacionales han permitido establecer la existencia de una forma de materia de composición todavía desconocida y de la cual existe una densidad promedio igual a:

$$\rho_{DM} = 2,38 \times 10^{-27} h_{70}^2 \text{ kg m}^{-3}$$

<sup>2</sup>Para ello se asume que el parámetro cosmológico  $\Omega_B = 0,0484$ .



**Figura 1.3:** Imagen del cúmulo de la bala mostrando la distribución reconstruida de materia oscura

En los años 1960 se descubrió que todos los sitios del universo son bañados por una radiación que tiene el espectro de cuerpo negro con una temperatura característica de 2.731 K. Esta radiación es isotrópica dentro de una precisión de 1 parte en 100.000.

### 1.1.3. Principios básicos

Para responder a todas las preguntas relevantes en cosmología es necesario encontrar la métrica del Universo.

Con base en las evidencias recogidas anteriormente podemos decir que actualmente el Universo está formado por una distribución de materia homogénea, isotrópica y de muy baja densidad, en la que las partículas se mueven muy lentamente comparada con la velocidad de la luz (con velocidades propias del orden de 100 km/s la velocidad de las galaxias es menor que 0.1 % de la velocidad de la luz).

#### Principio 1.1

**Principio cosmológico.** En cualquier momento y a una escala suficientemente grande, el universo es **homogéneo**. (es el mismo en todas partes, tiene la misma densidad y curvatura) e isotrópico (la elección de ejes coordenados no afecta la descripción de la geometría).

Aquí es importante entender que esta suposición implica que todo lo que digamos en lo sucesivo aplicará únicamente bajo el supuesto de homogeneidad e

isotropía. Sin embargo el universo es más complejo que eso y puede a escalar de planetas, estrellas, galaxias incluso cúmulos y supercúmulos tener una estructura granulosa.

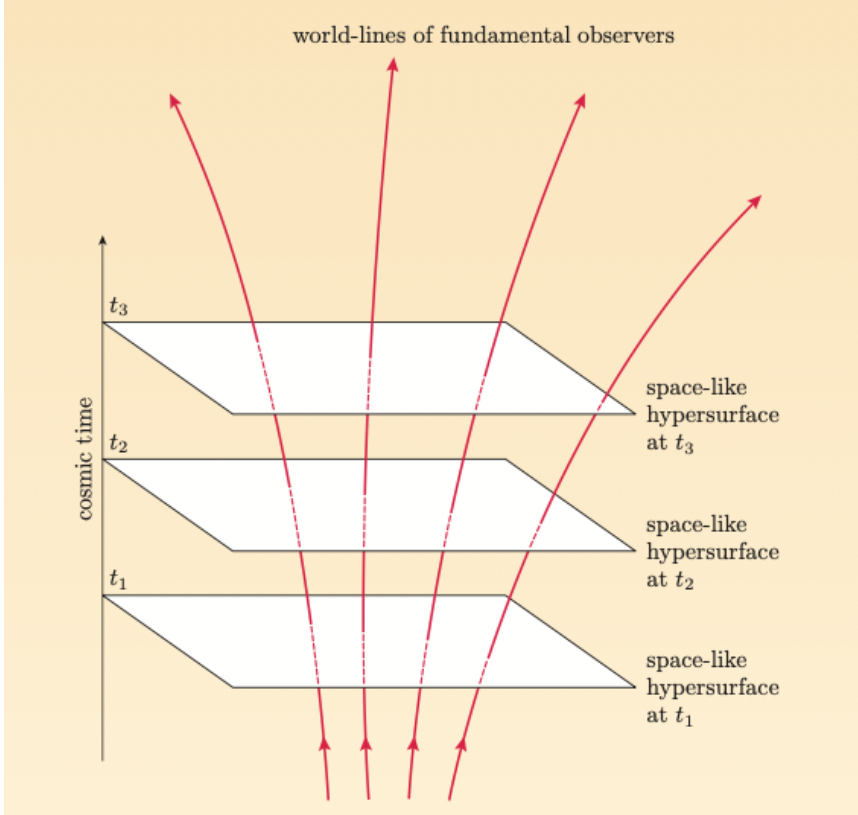
Otro “inconveniente” con el principio cosmológico es que no es necesariamente válido para todos los observadores del Universo. Por ejemplo, un observador que se mueva no percibirá el universo isotrópico.

Para esto se introduce un nuevo principio:

### Principio 1.2

**Principio de Weyl.** Existe un conjunto de observadores privilegiados en el universo que llamaremos **observadores fundamentales**, que lo perciben como homogéneo e isotrópico y que tienen las siguientes características:

- Las líneas de universo de estos observadores nunca se cruzan (excepto en una singularidad inicial).
- El tiempo propio de estos observadores es el mismo de modo que se puede definir para cada evento del universo un **tiempo cósmico** referido a cualquier evento presente o pasado.
- Todos los eventos del universo que tienen el mismo valor del tiempo cósmico forman una hipersuperficie espacialoide que satisface el principio cosmológico (es homogénea e isotrópica).



**Figura 1.4:** Observadores fundamentales de acuerdo con el principio de Weyl

Sobre cada hipersuperficie se pueden definir las coordenadas que ocupan los observadores fundamentales de modo que no cambien con el tiempo (dado que la relación entre los observadores fundamentales tampoco cambian). A estas coordenadas las llamamos **coordenadas comóviles**.

#### 1.1.4. La métrica del Universo

Con las condiciones anteriores la métrica más general que podemos escribir que satisfaga estas condiciones es:

$$ds^2 = cd^2t^2 - S(t)^2 d\ell^2$$

donde  $t$  es el tiempo cósmico,  $S(t)$  es una función arbitraria que depende del tiempo y  $d\ell^2$  es el elemento de línea en las hipersuperficies de tiempo cósmico constante.

BORRADOR

## Capítulo 2

# Apéndices

### 2.1. Códigos útiles

A continuación encontrarán algunos códigos útiles usados en el curso.

#### 2.1.1. Cálculo analítico de tensores en relatividad general

El código a continuación fue adaptado de Hartle y sirve para el cálculo de las cantidades geométricas y tensoriales útiles en relatividad general.

```
(*
Instrucciones:
1) Abra una cuenta en https://lab.wolframcloud.com.
2) Cree un nuevo Notebook.
3) Copie el contenido de este archivo dentro del Notebook.
4) Ejecute el código de ejemplo
*)

(*Variables básicas*)
Clear[n,
Inversa,Matriz,Tabla,
Gama,Geodesica,Riemann,
GeodesicaTabla ,ListaDos,ListaTres,ListaCuatro];
n = 4;
(*Genericos*)
Inversa[g_]:=Simplify[Inverse[g]]
(*Muestra*)
Matriz[g_]:= g//MatrixForm
Tabla[Lista_]:=TableForm[Partition[DeleteCases[Flatten[Lista], Null], 2],TableSpacing->{1, 1, n}], TableSpacing->{2}]
GeodesicaTabla[geodesica_]:=TableForm[
Table[{"d/d\[Tau]" ToString[u[i-1]], "=" ,geodesica[[i]]},
{i, 1, n}], TableSpacing -> {2}]
ListaDos[Tensor_,simbolo_,coords_]:=Table[
```

```

If[UnsameQ[Tensor[[j, 1]], 0],
{ToString[simbolo[coords[[j]], coords[[1]]]<>" = ",Tensor[[j, 1]]} ,
{j, 1, n}, {1, 1, j}];
ListaTres[Tensor_,simbolo_,coords_] := Table[
If[UnsameQ[Tensor[[i, j, k]], 0],
{ToString[simbolo[coords[[i]], coords[[j]],coords[[ k]]]<>" = ", Tensor[[i, j, k]]
{i, 1, n}, {j, 1, n}, {k, 1, j}];
ListaCuatro[Tensor_,simbolo_,coords_] :=Table[
If[UnsameQ[Tensor[[i, j, k, 1]], 0],
{ToString[simbolo[coords[[i]], coords[[j]],coords[[ k]],coords[[ 1]]]<>" = ",Tensor
{i, 1, n}, {j, 1, n}, {k, 1, n}, {1, 1,n}];
(*Relatividad General*)
Gama[g_,gi_,coord_] := Simplify[
Table[(1/2)*Sum[(gi[[i, s]])*
(D[g[[s, j]], coord[[k]] ] +
D[g[[s, k]], coord[[j]] ] -
D[g[[j, k]], coord[[s]] ]), {s, 1, n}],
{i, 1, n}, {j, 1, n}, {k, 1, n} ]];
Riemann[G_,coord_] := Simplify[Table[D[G[[i, j, k]],coord[[1]] ] - D[G[[i, j, 1]],
Sum[G[[s, j, k]]G[[i, 1, s]] - G[[s, j, 1]]G[[i, k, s]], {s, 1, n}],
{i, 1, n}, {j, 1, n}, {k, 1, n}, {1, 1, n} ]
Ricci[Rm_] :=Simplify[Table[
Sum[Rm[[i, j, i, 1]], {i, 1, n}, {j, 1, n}, {1, 1, n} ]
Scalar[gi_,Ri_] := Simplify[ Sum[gi[[i, j]] Ri[[i, j]], {i, 1, n}, {j, 1, n} ]
Einstein[Ri_,R_,g_] :=Simplify[Ri - (1/2) R*g]
Geodesica[G_] := Simplify[Table[-Sum[G[[i, j, k]] u[j-1] u[k-1], {j, 1, n}, {k, 1,
(*
-----

Ejemplo agujero de gusano:
coords = {T,r, \[Theta], \[Phi]};
gij = {{1,0,0,0},{-0, 1, 0, 0}, {-0,0, r^2 + b^2, 0}, {-0,0,
0, (r^2 + b^2) Sin\[Theta]^2}};
nij = Inversa[gij];
Gijk=Gama[gij,nij,coords];
Rijkl=Riemann[Gijk,coords];
Rij=Ricci[Rijkl];
Rs=Scalar[nij,Rij];
Gij=Einstein[Rij,Rs,gij];
dxidt=Geodesica[Gijk];
Matriz[gij]
Matriz[nij]
Tabla[ListaTres[Gijk,\[CapitalGamma],coords]]
Tabla[ListaCuatro[Rijkl,Riemann,coords]]
Tabla[ListaDos[Rij,Ricci,coords]]
Rs
Tabla[ListaDos[Gij,G,coords]]
GeodesicaTabla[dxidt]
-----

```



Ejemplo métrica simétrica:

```

coords = {T,r, \[Theta], \[Phi]};
gij = {{Exp[2A[r]],0,0,0},{0, Exp[2B[r]], 0, 0}, {-{0,0, r^2 , 0}, -{0,0,
    0, r^2 Sin\[Theta]^2}}};
nij = Inversa[gij];
Gijk=Gama[gij,nij,coords];
Rijkl=Riemann[Gijk,coords];
Rij=Ricci[Rijkl];
Rs=Scalar[nij,Rij];
Gij=Einstein[Rij,Rs,gij];
dxidt=Geodesica[Gijk];
Matriz[gij]
Matriz[nij]
Tabla[ListaNueve[Gijk,\[CapitalGamma],coords]]
Tabla[ListaNueve[Rijkl,Riemann,coords]]
Tabla[ListaNueve[Rij,Ricci,coords]]
Rs
Tabla[ListaNueve[Gij,G,coords]]
GeodesicaTabla[dxidt]
*)

```

BORRADOR

# Bibliografía

BORRADOR